



DX-MB 2335 – 04. Januar 2023

DX Mitteilungsblatt

DARC-Referat DX

Editor: Andreas Salder, DK5ON

(E-Mail: dxmb@darcdxhf.de)

(<https://www.darc.de/der-club/referate/dx/>)



Wöchentlich erscheinende DX-Mitteilungen des DARC – Referates DX

DX-Aktivitäten



DL, GERMANY:

Das Sonderrufzeichen **DB100RDF** ist vom 01.01.2023 bis zum 31.12.2023 auf den Bändern QRV. Es soll an die Geburtsstunde des deutschen Rundfunks am 29. Oktober 1923 aus der Sendestelle Berlin Vox-Haus erinnern. Es begann mit einem einstündigen Eröffnungskonzert und nur wenige Leute hatten schon einen Empfänger. Die Antennenanlage war damals eine 30m lange Reusenantenne in 35m Höhe und es standen 2 Röhrensender mit 250W zur Verfügung. QSL via DB100RDF (d/B) oder DO2PZ



DL, GERMANY:

Zur Feier des 100. Todestages von Professor Dr. Wilhelm Conrad Roentgen, ist vom 1.1.23 bis zum 30. Juni 23 das Sonderrufzeichen **DR100XRAY** in der Luft. Wilhelm Conrad Roentgen wurde am 27. März 1845 in Lennep (heute: Remscheid-Lennep) geboren. Am 8. November 1895 entdeckte er die Röntgenstrahlen. Im Jahr 1901 war er der erste, der den Nobelpreis für Physik erhielt. Man riet ihm, seine Entdeckung zum Patent anzumelden. Er lehnte dies ab, damit jeder von den Röntgenstrahlen Gebrauch machen konnte. Seine Entdeckung und ihre Anwendungen wurden unter dem Namen X-RAY allgemein bekannt. Roentgen starb am 10. Februar 1923 in München. QSL via DR100XRAY (d/B)



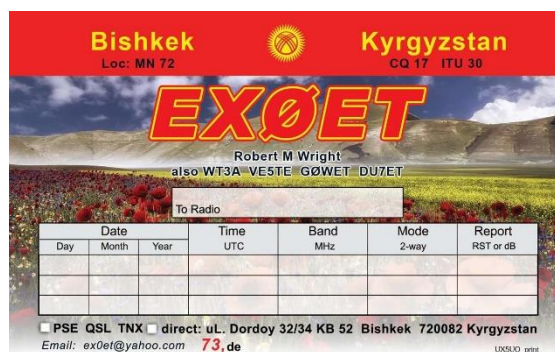
EA, SPAIN:

Zum Gedenken an die 32 vermissten und die 6 spanischen Überlebenden des Schiffunglückes der „Monte Palomares“ ist zum Jahrestag vom 7.1. bis 10.01.23 auf allen Bändern und Modes das Sonderrufzeichen **EG1NMP** QRV. QSL via eQSL oder LoTW



EX, KYRGYZSTAN:

Bob/DU7ET (WT3A) ist derzeit aus Bishkek in Kirgisistan beruflich als **EX0ET** unterwegs. In seiner Freizeit ist er von 20m bis 10m aktiv. QSL via (d)



K, USA:

Zum Gedenken an die historischen Schlachten der amerikanischen Revolution von Trenton und Princeton wird die Delaware Valley Radio Association an den Tagen dieser Schlachten von ihrer Clubstation das Sonderrufzeichen **W2P** und **W2T** noch bis zum 8. Januar in der Luft sein. QSL nur via SASE an W2P, PO Box 7024 West Trenton, NJ 08628-0024

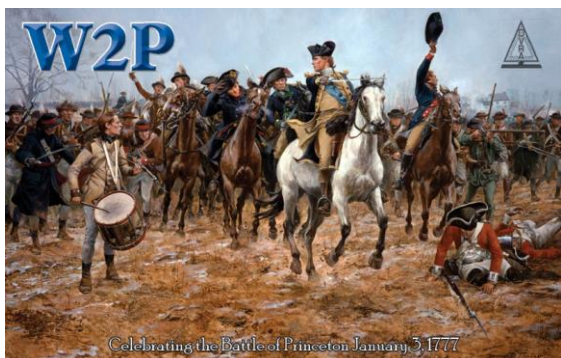


DX-MB vom 04. Januar 2023, Nummer 2335

Die deutsche Text-Version finden Sie auf unserer Homepage:

<https://www.darc.de/der-club/referate/dx/dxmb/>





LY, LITHUANIA:

Zur 100 Jahr Feier der Klaipėda Region werden Mitglieder des Klubs "Klaipėda" SVYTURYS das Sonderrufzeichen **LY1923KK** vom 10. Januar bis zum 10. Februar auf der Kurzwelle in die Luft bringen. QSL via (d/B)

TN, CONGO:

Petr OK1BOA, Petr OK1FCJ, Palo OK1CRM, Pavel OK1GK, Ruda OK2ZA, Ludek OK2ZC, Karel OK2ZI und David OK6DJ werden vom 6. bis 21. Januar mit dem Rufzeichen **TN8K** aus dem Kongo QRV sein. Sie werden in CW, SSB, RTTY, FT4, FT8, PSK und auch QO-100 aktiv sein. Folgende Frequenzen sind geplant:

In CW: 1832, 3504 (JA), 3525, 5357, 7025, 10105, 14025, 18070, 21025, 24890, 28005 und 50097; in SSB: 3790, 7170, 14240, 18150, 21300, 24950, 28470 und 50150; in FT8: 1840, 3580, 5357, 7056, 10144, 14090, 18109, 21091, 24923, 28091 und 50313; und RTTY: 10142 und 14080. Mehr Informationen unter <https://www.cdpx.cz/>. QSL via OK6DJ, ClubLog OQRS oder LoTW



VU, INDIA:

Für die Feierlichkeiten des 18. National Jamboree der Bharat Scouts and Guides wird das Sonderrufzeichen **AT18BSG** vom 1. bis 15. Januar in der Luft sein. QSL über VU2NRO.



Insel – Aktivitäten



Zusammengestellt von Andreas, DK5ON
(E-Mail: dk5on@darcd.de)

IOTA-Vorzugsfrequenzen

CW: 28040 24920 21040 18098 14040 10114
7030 3530 kHz

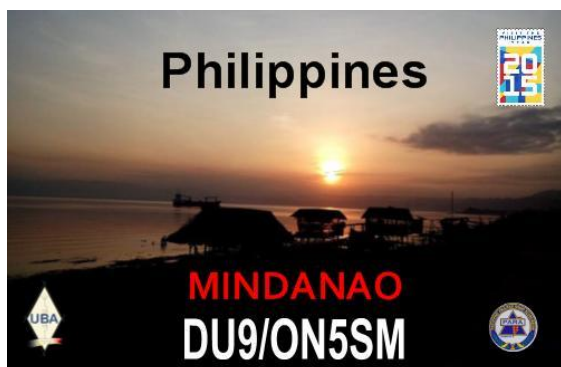
SSB: 28560 28460 24950 21260 18128 14260
7055 3760 kHz

AN-016; Various, ANTARCTICA:

Alex UG1A (ex RD1AV) ist auf dem Weg zur russischen Wostok-Basis **RI1ANC**. Er wird von Ivan UB1AQB und Zahar ex UH4NAE begleitet. Zur Feier des 30-jährigen Bestehens des "Russian Robinson Club (RRC)" werden sie in den ersten drei Monaten des Jahres 2023 auch das Sonderrufzeichen **RI30ANT** verwenden. Sie sind in CW, SSB und digital aktiv. QSL RI1ANC via RN1ON, QSL RI30ANT via RZ3EC

OC-130; DU8-9, MINDANAO ISLAND:

Marc ON5SM ist noch bis zum 21. Januar 2023 unter **DU9/ON5SM** von Mindanao auf den Philippinen auf allen Bändern in SSB, FT8 und SSTV aktiv. QSL via ON5SM (d/B)



SA-036; P4, ARUBA ISLAND:
 Jeff VA3QSL wird im „Holiday Style“ unter **P4/VA3QSL** von Aruba (WLOTA 0033) ab dem 10. Januar bis zum 8. Februar 2023 QRV sein. Jeff ist in SSB, CW und Digital auf den Kurzwellen Bändern von 40m bis 6 m mit 100 W und einer Buddipole Antenne in der Luft. QSL via VA3QSL (d mit USA/CAN. \$2.), (/B) oder LoTW

Informationen geplanter Insel - Aktivitäten



AN-002; 3Y, BOUVET ISLAND:
 Das Team, bestehend aus Kenneth LA7GIA, Rune LA7THA, Erwann LB1QI/F6JJX, Gjermund LB5GI, Adrian KO8SCA, Cezar VE3LYC, Otis NP4G, Bill KO7SS, Pete N0FW, Axel DL6KVA, Mike AB5EB und Dave WD5COV werden die Falklandinseln am 13. Januar verlassen und gehen davon aus, dass sie um den 26. Januar herum auf Bouvet Island ankommen werden. Sie planen 22 Tage vor Ort zu bleiben und sie nutzen das Rufzeichen **3Y0J**. QSL via M0OXO. Alle Details auf ihrer Website <https://www.3y0j.no>



OC-200; KH8S, SWAINS:
 Im November 2021 wurde die für November/Dezember 2021 geplante **W8S**-Expedition auf März 2023 verschoben, aber Ronald PA3EWP berichtet, dass die Expedition erneut verschoben wurde, da es zu diesem Zeitpunkt nicht möglich ist, ein Schiff für März 2023 zu chartern. Das Schiff "Manu'atele" hat einen festen Zeitplan und kann nicht nach Swains segeln, um das Team abzusetzen und zwei Wochen später wieder abzuholen. Das Projekt wird nicht abgesagt. Verfolgen Sie die Aktualisierungen auf: <https://swains2020.ildxt.eu/home/>



AF-008; FT*4, CROZET ISLANDS:
 Folgender Hinweis: **FT8WW** ist nur bis zum 26. Januar QRV. Es gibt nur eine Erlaubnis, zwischen dem 20. Dezember und dem 26. Januar für nur 3 Wochen lang auf HF zu senden. Darüber hinaus werden jeden Tag mindestens 5 Stunden nicht gesendet, damit das Poles Institute (IPEV) eine Messung durchführen kann. Es gibt keine Beschränkung für QO-100-Verkehr, und eine Möglichkeit des Funkverkehrs während des gesamten Aufenthalts auf der Basis bis Ende März.

POTA-Aktivitäten



Parallel zu dem WWFF-Programm gibt es auch ein „Parks On The Air® (POTA)“ Programm. Dieses beinhaltet auch Referenzen der Parks und ein Diplomprogramm. Mehr Informationen auf der Homepage <https://parksontheair.com/>

**K-4483, Hoosier National Forest,
K-5687, Cutright State Recreation Area:**

James/**KB9JMU** und Tim/**WC9G** sind am 4.01. von 1600 UTC bis 2000 UTC auf 40m und 20m in SSB aus K-4483 und gleichzeitig aus K-5687 QRV. QSL via (d/B), LoTW, eQSL oder QRZ

K-2840, Lake Owyhee State Park:

Am 4.1. von 1800 UTC bis zum 5.1. 0100 UTC ist Todd/**KK7ISX** auf 2m, 6m und 10 m in SSB und evtl. in FT8 QRV. QSL via **KK7ISX** (d/B)

**K-3524, Ocotillo Wells State Vehicle
Recreational Area:**

Marc/**KG6LI** plant auf den Bändern von 10m bis 160m am 4.1. ab 2300 UTC bis zum 5.1. bis 0000 UTC QRV zu sein QSL via **KG6LI** (d/B)

AR-0041, Lago Puelo National Park:

Aus dem Lago Puelo National Park in Argentinien ist Alejandro/**LU8ACH** unter **LU8ACH/W** auf 20m und 40m in der Luft. QSL via (B)

Kurzzeit Diplome auf Kurzwelle



Wir wollen nochmal auf das **WRTC Diplom** hinweisen, welches nur im Januar 2023 zu arbeiten ist.

1. Zweck

Förderung der Organisation der WRTC 2022 - "World Radio Team Championship", die im Juli 2023 stattfinden wird.

2. Vergabe Start-/Enddaten

Von 00.00 UTC am 1. Januar 2023 bis 23.59 UTC am 31. Januar 2023

3. YL / OM QSO

Die Auszeichnung wird im Anschluss an das QSO mit den Stationen des besonderen Ereignisses in dem in Punkt 2 dieser Regelung

angegebenen Zeitraum vergeben. Stationen mit besonderen Ereignissen sind unten aufgeführt. 2-Wege-QSOs mit Austausch des Reports sind gültig (R/S in SSB, R/S/T für CW).

4. Bänder

HF 3,5 - 7 - 14 - 21 - 28 MHz

5. Betriebsarten

CW, SSB

6. Punktzahl / QSOs

Um den WRTC 2023 AWARD zu erhalten, ist eine Mindestpunktzahl von 100 Punkten erforderlich. Eine abschließende Rangliste (Gesamtrangliste) und eine Auszeichnung für "Worked All Stations" wird für Teilnehmer erstellt, die QSOs mit Stationen der Sonderveranstaltung führen, und zwar auf der Grundlage der folgenden Gesamtpunktzahl:
CW: 10 Punkte für jedes CW-QSO auf jedem Band.

Beispiel II1WRTC (oder eine andere Sonderstation), QSO auf 40m CW, 20m CW, 10m CW: 10 + 10 + 10 = 30 Punkte

SSB: 5 Punkte für jedes SSB-QSO auf jedem Band.

Beispiel II1WRTC (oder eine andere Sonderstation), QSO in 80m LSB, 15m USB, 10m USB: 5 + 5 + 5 = 15

7. QSO-Akkreditierung

Jede Sonderstation darf nur einmal pro Tag auf jedem Band und in jeder Betriebsart gearbeitet werden. Ein "Dupe"-QSO wird nicht als Strafe gewertet.

ES IST STRENGSTENS VERBOTEN, QSOS NACH BETRIEBSART UND / ODER BAND ZU VERLANGEN.

8. Worked all Stations Auszeichnungen

N. 18 Auszeichnungen werden für die meisten Special Event Stationen vergeben, die mindestens einmal in der Award-Zeit (Januar 2023) gearbeitet haben.

1. WAS (Worked All Stations) Alle Bänder, MIXED-Modus
2. WAS (Worked All Stations) Alle Bänder, CW-Betrieb
3. WAS (Worked All Stations) Alle Bänder SSB-Betrieb
4. WAS (Worked All Stations) auf 80, MIXED-Betrieb
5. WAS (Worked All Stations) auf 10, MIXED-Betrieb
6. WAS (Worked All Stations) auf 15, MIXED-Modus

7. WAS (Worked All Stations) auf 20, MIXED-Modus
8. WAS (Worked All Stations) auf 40, MIXED-Modus
9. WAS (Worked All Stations) auf 80, CW-Betrieb
10. WAS (Worked All Stations) auf 10, CW-Betrieb
11. WAS (Worked All Stations) auf 15, CW-Betrieb
12. WAS (Worked All Stations) auf 20, CW-Betrieb
13. WAS (Worked All Stations) auf 40, CWModus
14. WAS (Worked All Stations) auf 80, SSB-Betrieb
15. WAS (Worked All Stations) auf 10, SSB-Betrieb
16. WAS (Worked All Stations) auf 15, SSB-Betrieb
17. WAS (Worked All Stations) auf 20, SSB-Betrieb
18. WAS (Worked All Stations) auf 40, SSB-Betrieb

9. Gesamtpunktliste

Punkte werden für QSOs mit Special Event-Stationen an jedem Tag auf jeder Betriebsart oder jedem Band vergeben.

Die Rangliste wird wie folgt berechnet:

- höhere Punktzahl
- größere Anzahl von QSOs
- größere Anzahl von bearbeiteten Sonderstationen
- mehr Bänder
- mehr Modi

Die Rangliste wird in Echtzeit auf der Website www.wrtc2022.it/award angezeigt.

10. Freigabe des Awards und QSL

Um den WRTC 2023 AWARD zu erhalten, ist ein Minimum von 100 Punkten erforderlich, und zwar innerhalb der in diesen Regeln angegebenen Zeiten und Methoden. Die Vergabe des Awards ist kostenlos und erfordert keine QSLs oder QSO-Bestätigungen auf Papier. Falls die Mindestpunktzahl von 100 Punkten für die Auszeichnung nicht erreicht wird, kann jeder geloggte Operator mit mindestens einem QSO trotzdem die Teilnahmebescheinigung erhalten. Der Award oder das Teilnahmezertifikat wird ausgestellt, indem die Datei in digitalem Format, im hochauflösenden A4-Format, ohne Registrierung über die Website www.wrtc2022.it/award heruntergeladen wird. eQsl-Download wird am Ende des Awards in Hamaward.cloud verfügbar sein. Die

Einsendung von Logbuch und qsl ist nicht erforderlich.

11. Liste der Stationen der Sonderveranstaltung:

- II1WRTC (Piemonte, Ligurien)
- II2WRTC (Lombardei)
- II3WRTC (Venetien, Friaul-Julisch-Venetien, Trentino-Südtirol)
- II4WRTC (Emilia Romagna)
- II5WRTC (Toskana)
- II6WRTC (Marken, Abruzzen, Molise)
- II7WRTC (Apulien, Region Basilikata 7)
- II8WRTC (Kampanien, Kalabrien, Basilikata 8 Region)
- II9WRTC (Sizilien)
- II0WRTC (Latium, Umbrien)
- IR1WRTC (Aostatal)
- IO0WRTC (Sardinien)

(diese Liste ist je nach eingegangenen Verpflichtungen, Rufzeichen und Qualifikationsgebiet zu vervollständigen)

4X22WRTC, 8B0RARI, 8N1WRTC, 9A22WRTC, 9M6WRTC, BY1CRA/WRTC, CQ7WRTC, D44PM, DA22WRTC, E2WRTC, EF2WRTC, EF8WRTC, GB2WC, HZ1WRTC, IO1WRTC, IO8WRTC, K4W (Porto Rico), LZ0WRTC, N0W, N1W, N4W, N5W, N6W, N7W, N9W, OM22WRTC, P49X, PY5WRTC, SP0WRTC, SX0WRTC, TM2WRTC/TM3WRTC, UP7WRTC, VE2WRTC, VR2XAN, W6W (Hawaii), YL4WRTC, YU5EEA, YV1KK, ZL6WRTC, ZV7W

*TM2WRTC wird vom 1. bis 15. Januar aktiv sein - TM3WRTC wird vom 16. bis 30. Januar aktiv sein. Beide Rufzeichen werden als ein einziger Anruf gezählt

KW Conteste

Termine Januar 2023:

- | | |
|------------------|--|
| 07/08.01. | ARRL RTTY Roudup
1800 UTC - 2395 UTC
80m - 10-m
RTTY |
| 07/08.01. | Original QRP Contest
1500 UTC - 1500 UTC
80m - 10-m
CW/SSB |

- 07/08.01. EUCW 160m Contest**
2000 UTC - 0700 UTC
160m
CW
- 08.01. DARC 10m Contest**
0900 UTC - 1059 UTC
10m
- 14.01. YB DX Contest**
0000 UTC - 2359 UTC
80m - 10m
SSB
- 15.01. VFDB DLPX Contest**
1300 UTC - 1559 UTC
80m - 10m
CW/SSB
- 21/22. HA DX Contest**
1200 UTC - 1200 UTC
160m - 10m
- 27/29. CQWW 160m Contest CW**
2200 UTC - 2200 UTC
160m
CW
- 28/29. REF Contest CW**
0600 UTC - 0600 UTC
80m - 10m
CW
- 28/29. BARTG RTTY Sprint**
1200 UTC - 1200 UTC
80m - 10m
RTTY
- 28/29. UBA DX Contest SSB**
1300 UTC - 1300 UTC
80m - 10m
SSB

Die Ausschreibungen finden Sie ebenfalls auf <http://www.darc.de/der-club/referate/conteste/> sowie mittels der Contest Termin-Tabelle in der CQ DL 01/2023 auf Seite 64.

Geplante KW Conteste



YOTA Contest Termine 2023

Die Organisatoren haben die Termine für die erneut drei Teile des YOTA-Contests 2023 bekanntgegeben:

Teil 1: 22. April 2023
0800 UTC bis 1959 UTC

Teil 2: 22. Juli 2023
1000 UTC bis 2159 UTC

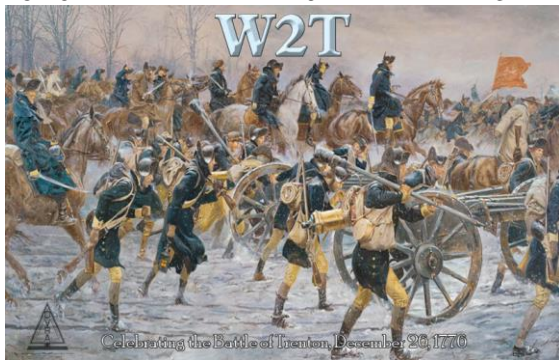
Teil 3: 30. Dezember 2023
1200 UTC bis 2359 UTC

Mehr Informationen unter <https://www.ham-yota.com/yota-contest-2023/>

Kalender

von	- bis	DX	DX-MB
01.07.	-	3A/F6EXV	2308
01.07.	-	3A/PB8DX	2308
20.01.	-	3B8HH	2285
	-	3C3CA	2322
25.03.	-	3X1A	2303
	-	3Z30PAR	2332
08.22	-	5H2JK	2313
23.11.	-	5H3SE	2329
	-	5H5PJ	2332
18.04.	-	5P0WARD	2297
17.06.	-	5R8BM	2308
16.11.	-	5V7JA	2328
01.12.	-	5W0RS	2330
01.05.	-	5X7W	2301
16.06.	-	6O1OO	2307
22.12.	- 20.01.23	6W1/WA3DX	2333
22.12.	- 20.01.23	6W6/WA3DX	2333
22.12.	- 20.01.23	6W9/WA3DX	2333
27.11.	- 11.01.23	6Y5/W8YCM	2330
01.12.	- 11.01.23	6Y8LV	2331
06.22	-	7P8AB	2306
06.22	-	7P8NB	2306
	- 31.03.23	8J1H90T	2330
22.05.	-	9G5XA	2304
	- 06/22	9J2MYT	2279
01.10.	-	9J2SEU	2322
11/21	-	9N7AA	2306

25.04.	-	9N7CI	2300
25.04.	-	9N7WE	2300
01.01.23	- 29.03.23	9M2MRS	2334
01.10.	-	A65/DL2RMC	2321
01.01.23	- 15.01.23	AT18BSG	2335*
15.12.	- 12/23	AT42I	2332
28.11.	- 24.02.23	C5YK	2331
01.05.	-	C83YT	2301
	-	C91CCY	2322
03.01.23	- 21.01.23	D44TWO	2334
	-	DA0WB	2334
01.01.23	- 31.12.	DB100RDF	2335*
20.02.	- 19.02.23	DKØHN	2285
26.01.	- 25.01.23	DLØOF	2288
07.05.	- 06.05.23	DL1640Y	2312
01.10.	- 30.09.23	DR45HAAN	2330
01.01.23	- 30.05.23	DR100XRAY	2335*
	- 21.01.23	DU9/ON5SM	2335*
07.01.23	- 10.01.23	EG1NMP	2335*
	-	EX0ET	2335
01.09.	- 01.04.24	FH4VVJ	2314
01.09.	- 01.04.24	FH4VVK	2317
15.10.	-	FJ4WEB	2324



07.22	-	FO5QS	2312
	- 03.23	FT4YM	2324
25.12.22	- 26.01.23	FT8WW	2335*
	- 02.24	FW1JG	2287
26.12.	- 08.01.23	FY/F4GPK	2333
29.12.	- 22.01.23	HC1FIT	2334
15.03.	- 15.03.23	HG2ØØAN	2293
15.03.	- 15.03.23	HG2ØØDO	2293
15.03.	- 15.03.23	HG2ØØEF	2293
15.03.	- 15.03.23	HG2ØØIR	2293
15.03.	- 15.03.23	HG2ØØOT	2293
15.03.	- 15.03.23	HG2ØØPS	2293
01.01.23	- 01.05.23	HH75RCH	2334
	-	HK3/F4AHV	2332
25.07.	- 15.05.23	HK3JCL	2307
23.11.	- 13.03.23	HR5/F2JD	2329
06.11.	- 02.04.23	HS0ZME	2326
01.01.23	- 31.12.23	II4ANC	2334
01.01.23	- 31.12.23	II4BRI	2334
01.01.23	- 31.12.23	II4CDV	2334
01.01.23	- 31.12.23	II4CGD	2334
01.01.23	- 31.12.23	II4CLT	2334
01.01.23	- 31.12.23	II4GAR	2334
01.01.23	- 31.12.23	II4GNV	2334
01.01.23	- 31.12.23	II4SML	2334

01.01.23	- 31.12.23	II4SPZ	2334
01.01.23	- 31.12.23	II4SSM	2334
01.01.23	- 31.12.23	II4STL	2334
01.01.23	- 31.12.23	II4TRN	2334
	- 06.23	J28HJ	2311
08.22	-	J28RC	2315
01.10.	-	J5JUA	2323
24.12.	- 23.01.23	JD1BMH	2333
14.05.	-	K4RC	2301
12/22	- 12/23	KC4AAC	2332
19.12.22	- 08.01.23	LX4HNY	2334
10.01.23	- 10.02.23	LY1923KK	2335*
23.04.	-	OE22M	2298
01/23	- 06/23	OE40XTU	2332
10.01.23	- 08.02.23	P4/VA3QSL	2335*
23.12.22	- 05.01.23	PJ2/DD0VR	2333
01.01.	- 13.01.23	PJ4/DD0VR	2334
	-	RI1ANC	2335*
24.10.	- 24.03.23	RI1ANU	2324
01.01.23	- 31.03.23	RI30ANT	2335*
	-	RI41POL	2321
01.05.	-	S035S	2301
23.12.	- 03.01.23	TI7/VE3BW	2333
	-	TI8/F4AHV	2332
06.01.23	- 21.01.23	TN8K	2335*
	-	TO5Z	2328
29.12.	- 15.03.23	TR8CR	2334
	- 06/23	TT8SN	2320
	-	TZ4AM	2311
12/22	- 03/23	V31TX	2333
18.10.	-	V55WH	2324
06.2022	-	V73MS	2306
31.10.	-	V85NPV	2329
29.12.	- 05.01.23	VL9MTO	2334
	- 04/23	VK9WX	2331
2.1.23	- 31.03.23	VP2MDX	2334
	-	VP5MA	2302
01.12.	- 01.23	VP8/SQ1SGB	2331
	-	VP8AAE	2320
12/22	- 01/23	VP8RAF	2332
12/22	- 01/23	VP8TAA	2332
14.05.	-	W1M	2301
	- 08.01.23	W2P	2335*
	- 14.01.23	WA5LFD/p	2330
21.08.	-	XZ2A	2316
25.06.	-	XZ2B	2309
	- 12/25	YB8QT	2330
01.12.22	- 30.06.23	YR1200VT	2333
01.09.	-	Z6/KN4PRE	2317
28.08.	-	ZA/DG7PX	2317
23.08.	-	ZA/Z35M	2315
12/22	-	ZA15K	2333
29.12.22	- 05.01.23	ZF2IT	2334
25.08.	-	ZL4/VE6TC	2318
15.07.	-	ZL7/ZL1VV	2311

* = neu oder aktualisiert
 .. = und andere Calls

QSL-Informationen

3A/F6EXV	via	F6EXV	5R8PA	via	DL2AWG (B), (L)
3A/IR1DCI	via	IK1GPG (B)	5R8WG	via	DL2AWG (B), (L)
3A/PB8DX	via	PB8DX	5R8WP	via	DL2AWG (B), (L)
3A/DL2SBY	via	DL2SBY (d), (L)	5R8AL	via	G3SWH (d), (L)
3A3A		(L)	5WØRS	via	IT9YVO (d)
3A6M	via	F6EXV ((O)), (B), (L)	5X3R	via	IK2DUW
3B8/DK6SP	via	DK6SP (B), (L)	5X4E	via	IQ3CO (B); IZ3ZLG (d)
3B8/KX7M	via	F5CWU (B)	5Z4VJ	via	MØURX (B OQRS), (L)
3B8X	via	PFØX (B), (L)	6D5C	via	XE1H (nur (L))
3B9/MØCFW	via	(L)	6W1/WA3DX	via	WA3DX (d), (L)
3C3CA	via	TA2OM (B), (L), (e)	6W6/WA3DX	via	WA3DX (d), (L)
3X1A	via	F1TMY QSL nur (C)	6W9/WA3DX	via	WA3DX (d), (L)
3Z3ØPAR	via	SP4KM (B), (L)	6Y5/4S7RO	via	F6BFH (B), (*)
3Z7ØFI	via	SP9JPA (B)	6Y5/W8YCM	via	W8YCM (d)
3Z95PRK	via	SP9MRP (B)	6Y6ØHM	via	EA5GL (B)
4D3X	via	W3HNK (d), (L)	6Y8LV	via	W8YCM (d)
4K7DK	via	DK1DKE (B)	7A1B	via	EA7FTR (d), (L)
4L1FP	via	K6VHF (B), (L), (e)	7G1RL	via	HA3JB (d), (L)
4L8A	via	MØOXO (B-(O)), (L)	7Q5RU	via	R7AL (L)
4S7RO	via	F6BFH (B), (*)	7Q6M	via	K6ZO (L)
4U1A	via	UA3DX (B), (L)	7R19MG	via	(d), (e)
4U1VIC	via	UA3DX (d/B)	7R7A	via	7X2VFK (d)
4U1XMAS	via	UA3DX (B)	7S1GRK	via	SK1BL (B, automatisch)
4W/JH2EUV	via	JH2EUV (B), (L)	7S7SOP	via	SM7RYR (nur (L))
4W/VK1AO	via	VK1AO (L), (e)	7T60A	via	7X2DD (d)
4X6FR	via	4X6OM	7X2GK	via	IK2DUW (d), (L)
4X7XMAS	via	4X6ZM (B), (L), (e)	7X2VFK	via	7X2DD (d)
4X8XMAS	via	4X6ZM (B), (L), (e)	7Y19MG	via	(d), (e)
4X9XMAS	via	4X6ZM (B), (L), (e)	7Z1VD	via	EA5GL (B), (L)
4Z8NER	via	4X6ZM (B), (L), (e)	7Z92ND	via	HZ1SAR (d)
5A1HA	via	F6BFH (B), (*)	8A64BALI	via	YH9AA (d), (e)
5A1AL	via	5A1AL ((O)), (L)	8J1H9ØT	via	JARL-Bureau, (L), (e)
5B/NP2KY	via	5B-Bureau	8J3S	via	JK3IJQ (B)
5B4AQC	via	DK6SP (B), (L)	8N2TY	via	JARL-Bureau, (L), (e)
5B4AMM	via	UT5UDX (L), (e)	8P6ET	via	KU9C (d), (L)
5B4YOTA	via	5B4CY (d), (B)	8P9NF	via	EA4NF (L)
5C4ØDN	via	CN8DN (d)	8S0C	via	SM0MPV (B), (L)
5E5R	via	CN8YZ (L), (e)	8S9J	via	SM5TOG (nur (L))
5H2JK	via	DL8AAI (B)	8Q7AG	via	IZ2DPX (B), (L)
5H3FM	via	HB9DSP (B), (L)	8Q7QE	via	EA5Q (B), (L)
5H3SE	via	(L)	8Q7TD	via	IK1TDD (B), (L)
5H5PJ		(e) & (L)	8Z92ND	via	HZ1SAR (d)
5H8HZ	via	TA1HZ (d), (L), (e)	9A/DL7MDX	via	DL7MDX (B), (L)
5KØT	via	LU1FM (d), (L), (e)	9A/F5SNJ	via	F5SNJ (nur (L))
5K0YD	via	IK2DUW (d)	9A/W8FNG	via	W8FNG (d), (L)
5N/KE5GUR	via	KE5GUR (d), (e)	9A/S50IPA	via	S50IPA
5P1KZX	via	OZ1KZX (B), (L), (e)	9A/SQ9CNN	via	SP9FIH (B), (L)
5P1OT	via	SP1OT (B)	9A1WFF/p	via	9A2MF (B)
5P5Q	via	OZ9XU (B), (L), (e)	9A2Ø22ICM	via	9A6KX (d), (L), (e)
5P5T	via	OZ1FDH (L), (e)	9A22YOTA	via	9A1A (B), (L)
5P6MJ	via	OZ6MJ (L), (e)	9A24ZRF	via	9A7ALZ (B), (L)
5P8VW	via	DJ8VW (B), (L), (e)	9A5Y	via	9A7W (B), (L)
5Q5CW	via	DL5CW (B), (L)	9A8GHJ/p	via	OE7GHJ (B)
5Q7DX	via	PA7JWC (B), (L)	9H/IV3CTS	via	YT4RA (L), (e)
5R8CG	via	DL2AWG (B), (L)	9H6LH	via	DL1KJ (B)
5R8FG	via	IZ6BRJ (B)	9H6QE	via	9H1MRC (d)
5R8MM	via	DL2AWG (B), (L)	9J2SEU	via	OE3SEU (L)
			9K2OW	via	EC6DX (d), (L)
			9K9KSA	via	EC6DX (d), (L)

9M100SK	via	9W2TXL (d)	BX0QSL	via	BM2JCC, (e)
9M2MRS	via	PAØRRS (B), (L)	C37N	via	C37URA (B), (L)
9M59SD	via	9W8KIF (d)	C6ADX	via	W8GEX (L)
9M6NA	via	JE1JKL (B), (L)	C6AGU	via	HA7RY (L), (e)
9N7AA	via	S57DX (d), (L)	C6AQ	via	EA5GL (B), (L), (e)
9V1ZV	via	EA5GL (B), (L), (e)	C6AYL	via	W8CAA (L)
9X5GG	via	F6BFH (B), (*)	C7A	via	UA3DX (B)
A35JP/p	via	JA0RQV (B), (L)	C91CCY	via	K3IRV (B)
A43KSA	via	EC6DX (d), (L)	CB3W	via	XQ4CW
A43UAE	via	A47RS (B), (L), (e)	CB4A	via	CE4UFC
A6ØA	via	EA7FTR (d), (L)	CN22JIM	via	RW6HS (d)
A6ØBHR	via	EA7FTR (d)	CN23NIL	via	RW6HS (d)
A60FIFA/2	via	EA7FTR	CN23NOA	via	CN8NOA
A65/DL2RMC	via	DL2RMC (B), (L)	CO7VI	via	IK2DUW (d) und (L)
A65DR	via	N4GNR (d), (L)	CQ3J	via	CT3MD and (L)
A61ZX	via	IZ8CLM (B), (L), (e)	CQ9T	via	CT3KN
A62A	via	EA7FTR und (L)	CR2X	via	OH2BH (B)
A71AU	via	F6BFH (B), (*)	CR3SI	via	CT1DSV (B)
A71FIFA	via	A71A (B), (L)	CR3Y	via	OM2FY
A72FIFA	via	QARS-Bureau, (L)	CR6K	via	CT1ILT (O), (d), (L)
A73FIFA	via	A71A (B), (L)	CS2C	via	OK1RF
A74FIFA	via	QARS-Bureau, (L)	CT9ABO	via	OM3GI (d), (L)
A75FIFA	via	A71A (B), (L)	CT9ABV	via	DL5AXX, (L)
A76FIFA	via	QARS-Bureau, (L)	CW3A	via	EA5GL (d), (L)
A77FIFA	via	QARS-Bureau, (L)	CW5X	via	CX2ABC (d)
A78FIFA	via	QARS-Bureau, (L)	CX1ØØB	via	CX1AA (B), (L)
A722FWC	via	A71A (B), (L), (e)	CX3AT	via	EA5GL (B), (L), (e)
A71XX	via	EC6DX (d), (L)	CX5A	via	CX2ABC (B), (L), (e)
A91ARS	via	EC6DX (d), (L)	D2TX	via	PA3CMC (L)
A91FTDMC	via	EC6DX (d), (L)	D44BM	via	IW2KVT (B)
A91ND	via	EC6DX (d), (L)	D44PM	via	IZ4DPV (d), (B), (L)
A91OMA	via	EC6DX (d), (L)	D44TWO	via	MØOXO (B OQRS), (L)
A44A	via	A47RS (B), (L)	D4L	via	IK2NCJ (B), (L)
AHØ/WA7WJR	via	WA7WJR (d), (L)	D4Z	via	IK2NCJ (B)
AH2/WA7WJR	via	WA7WJR (d), (L)	D6ØAE	via	F5GSJ (B), (L)
AM100RCE	via	EA4URE	D73G	via	HL4CCM (B), (L), (e)
AM23ØCW	via	EA2CW (L), (e)	DA0HQ	via	DL5AXX
AM30FEDIAE	via	EA3RKF (d), (e)	DA0RR	via	DJ5BWD
AM33ØHLM	via	EA3HLM (nur L & (e)	DAØT	via	DL7AT (B), (L)
AM33ØRKM	via	EA3RKM (L), (e)	DA22LGS	via	DL7ACN (B)
AM38SDC	via	EA1AUM (B), (L), (e)	DA2W	via	ON3UN (B)
AM4ØRCH	via	EA3RCH (B), (L), (e)	DFØCOC	via	DL4PY (B)
AM5ØØPCM	via	EA7URF (B), (L), (e)	DFØSAX	via	DL3DXX (B), (L)
AM630VQ	via	EA6VQ (B), (L)	DK05ØBN	via	DK5PD (B), (L), (e)
AO12ØDRI	via	EA7AMB (B), (e)	DK0AJ	via	DH4FE
AP2KN	via	F6BFH (B), (*)	DK0DFF	via	DL7AFS (B)
AP2TN	via	N4BAA (World), RW6HS (Russia, d), (L)	DK0DI	via	DH7ZP (B)
AP75HA	via	AP2HA (L)	DK0GYB	via	DK2AJ (B), (e)
AP75HAS	via	VU2SMS (d)	DK0SM	via	DL6OCH
AP75SD	via	EA5ZD (B: nur Mail), (e)	DK5T/LH	via	DK5ON (d), (B), (L)
AU2JCB	via	VU2DSI (d), (e)	DL0AGU	via	DL1RNT (B)
AU2SOA		(L), (e)	DL0AH	via	DG5YHE
AU75JRO	via	VU2JRO (d), (L), (e)	DL0GEO	via	DL2YAK (B), (L), (e)
AU75SMS	via	VU2SMS (d), (L)	DL0JBB	via	DL6YAO (B), (e)
AP75TN	via	RW6HS (d)	DL0NOT	via	DL1ZAV (B)
AZ1D	via	LU1DX	DLØROS	via	DL8MEW (B), (e)
BP0A	via	BV2KS	DL164ØY	via	DL3CQ (B), (e)
BW/DJ4JB	via	DJ4JB (B)	DL2ØSOTA/p	via	DL6GCA
			DL6ØLINDAU	via	DL1CBQ (B)

DL/HB9BIN/p	via	HB9BIN (B), (L)	GB1CSR	via	MØOLT (B), (e)
DL/HB9CBR/p	via	HB9CBR (nur (L))	GB2HMM	via	GW4TTA (B)
DMØY	via	DL3BQA (B)	GB5GYD	via	MØCQL ((e))
DM20OTUS	via	DJ8NU (B)	GB5TP	via	MM0DFV
DM6ØUEA	via	DL3BUA (B, autom.)	GB6OUS	via	MØOXO (B-(O)), (L)
DN2MR	via	DD7MR (B)	GD2NV	via	G2NV (nur (e))
DN3TD	via	DL3TD (B)	GJ2A	via	MJ0ASP (d), (L)
DP0POL	via	DL5EBE (B)	GM2T	via	(B)
DP5N	via	DJ0ACA	GM4Z	via	GM4ZUK (B), (L)
DQ8FTDMC	via	DM2RM	GM6DX	via	MØOXO (B-(O)), (L)
DR0W	via	DJ5MW	GQ4ATA	via	GM4ATA nur (L)
DR1ØØRY	via	DF2SD (B), (L), (e)	GS5DX	via	EB7DX and (d), (L)
DR15ØMM	via	(B), (e)	GS8VL	via	M0OXO ((O)), (L)
DR3K	via	DG1YKW (B)	GUØVJG/p	via	GØVJG (B)
DR4A	via	DJ9KM (B), (L)	GX1FCW		nur (e)
DR45HAAN	via	DO9MP (B), (O)	GX3WIM	via	G8MNY (L), (e)
DU1/PG5V	via	PG5V (d), (B), (L)	GX5BBC	via	G4HPE (B), (e)
DU3/W6QT	via	W6QT (B), (L), (e)	GX5DX	via	EB7DX (d)
DU7/N7ET	via	N7ET (B), (L)	GX6ZME/p	via	G3ZME (B)
DV8/KH7EA	via	SP3SUX (B)	H25A	via	LZ3SM (B), (L)
DX8H		(d)	H44MS	via	DL2GAC (B), (L)
E2WRTC	via	E21EIC (B), (L)	H44SHD	via	HB9SHD (B), (e)
E7/9A3DF	via	9A3DF	HA36EUDXF	via	HA5MA (B), (L)
E7HQ	via	E70ARA, (L)	HA5SPORT	via	HA-(B)
E77DX	via	E73Y (B), (L)	HBØ/DJ1AA/m	via	DJ1AA (B), (e)
EA3ATO	via	EA3RCI (B), (e)	HBØ/DL2JRM	via	DL2JRM (B)
EA5/DJ2TG/p	via	DJ2TG (B), (L), (e)	HBØ/HB9DQM	via	HB9DQM (B), (L)
EA7/WH6GV	via	EA7KN	HBØ/OE9HRV	via	OE9HRV (B)
EA8/DL2GRF	via	DL2GRF ((e))	HBØ/PA3CNO	via	PE1FLO
EA9KB	via	EA7FTR	HB175RAIL	via	(L)
ED1R	via	EC1KR (B), (L), (e)	HB5ØSH	nur	(L) & (e)
ED2C	via	EA2RCF (B)	HB75SG/p	via	HB9KNY (B), (L)
ED2FSF	via	EA2CYC (E-Mail)	HB9SPACE	via	HB9ACA
ED5HFD	via	EA5HFD (B)	HC5JHT	via	(L)
ED7O	via	EA7EU (d)	HD1HERO		nur (L)
EE44C	via	EC5WR (d), (L), (e)	HF0ROSA	via	SP7X (L), (e)
EF0F	via	EA4URE (B), (L)	HF1ØØL	via	SP9KDR (B)
EF1A	via	EA1X (B), (L)	HF1922PS	via	SP9KJU (B), (e)
EF6T	via	EA3AIR	HF1Z	via	SP1EG (B), (L)
EH23HNY	via	EA5URV (B), (e)	HF2ØLVK	via	SP4LVK (B), (e)
EH3HNY	via	EB3JT nur (L) & (e)	HF30STB	via	SP9SCI (B)
EH5FPM	via	EA5JDN and (L)	HF3ØPSP	via	SP9PSJ (B)
EH5HNY	via	EA5ZD (B)	HF77DIORA	via	SP3PDO (B)
EI/DJ1WI	via	DJ1WI	HF800M	via	SP9PKS (B)
EG5DSI	via	EA5RKS (nur L & (e))	HF9FIELD	via	SN9PJ (nur (e))
EXØET	via	DU7ET (d)	HF95PRK	via	SP9KJU
FG/F6HMQ	via	F6HMQ (B)	HG0IDPD	via	HA5MA (d), OQRS (C); keine QSL benötigt
FH/OK1M	via	OK1WMM	HGØWFF	via	HAØHW (B-(O)), (L)
FK8GX	via	F5MFV (d)	HG1Z	via	HA1XY (B)
FM5BH	via	W3HMK (d), (L)	HG1222BA	via	HA4KYB
FT8WW	via	F6EXV (B-OQRS), (L)	HG4I	via	HA5LN
FY/F4GPK	via	F4GPK (nur (e))	HG5A	via	HA5KDQ (B), (L), (e)
FY5KE	via	FY1FL (d), (L)	HH18NOV	via	N2OO (B)
G3M	via	G4PEO (B)	HH2AA	via	EB7DX (L), (d)
G5XV	via	MØOXO ((O)), (L)	HH75RCH	via	N2OO (B)
G8T	via	GW4SHF (B)	HI8J	via	RW6HS (d), (L)
G8X	via	G4FJK (d), (L)	HI9/IK2KTE	via	IK2KTE
GBØNFL	via	MØLMK (nur (e))	HL77V	via	6KØMF (B)
GB13COL	via	GØVLF (d)			

HLØ9NWPF	via	HL5BJU (B), (L), (e)	JX/LB4MI	via	LB4MI (B), (L), (e)
HP1/EA5XV	via	EA5XV (B)	K4C/75	via	N4JR (B)
HR9/K6VHF	via	K6VHF (B), (L), (e)	K4WK/VE3	via	K4WK
HQ9X	via	KQ1F (B), (L)	KH6/ND0B	via	ND0B (d), (L)
HR5/F2JD	via	F6AJA (B), (L)	KH6ND/W7	via	KH6ND (L)
HS0ZJF	via	ON4AFU (d), (B)	K5A	via	K5DB (d), (L)
HS0ZNR	via	VK2FY (d), (L), (e)	K8H	via	W7YAQ (L)
HS0ZOA	via	EB7DX (d), (e)	KC4AAC	via	K7MT (d), (L)
HS7AP/p	via	E21IZC	KH7X/W7	via	KH7X (L), (e)
HVØA	via	IKØFVC (d), (L)	KL7J	via	N3SL (B), (L)
HZ1BHR	via	HZ1SAR (d)	KP2/KB5RF	via	KB5RF (nur (L))
HZ1CY	via	A61BK (d), (L)	KP2B	via	EB7DX (d), (L)
HZ1CPCF	via	HZ1SAR	KP4/E77DX	via	E73Y (B), (L)
HZ1UAE	via	HZ1SAR (d)	KP4/KCØBLK	via	KCØBLK (d), (L), (e)
HZ92ND	via	HZ1SAR (d)	KT3Q	via	DF8DX (B), (L)
I/HB9BIN/p	via	HB9BIN (B), (L)	L2ØD	via	LU3DXG (L), (e)
IC8/IK6CAC	via	IK6CAC (L), (e)	L50DY	via	LU8DY (L), (e)
IC8/KL1A	via	OE1ZZZ (d)	L60CBA	via	LU5CBA
ID9Y	via	IK8YFU (d), (L), (e)	LA/PE1ITR	via	PE1ITR (B), (L)
IF9A	via	IT9ATF (B), (L)	LA/SP7VC	via	SP7VC (d), (e)
IG9/IZ8FFA	via	IZ8FFA (d), (L)	LA/ON4ROB/P	via	ON4ROB
I11MM	via	IK1VHX (e)	LB5SH/p	via	LB5SH (B), (L)
I12FTDM	via	IK2EKO	LC1R	via	LB5SH (B), (L)
I15RM	via	IK5WOB (B)	LC5C	via	LA6KOA (B)
I17ML	via	IQ7ML ((e))	LP1A	via	EA7FTR (L)
I19IALU	via	IT9MRM (d), (e)	LV1E	via	LW6EQG (B), (L), (e)
I19IAKE	via	HE9ERA (B)	LW2DO	via	EC6DX (d)
I19IGDG	via	IT9DSA (d), (e)	LX/PA3FQX	via	PA3FQX
I19JOTA	via	IT9LIZ	LX4HNY	via	LX1JH (B autom.), (e)
IK1TNU/IA5	via	IK1TNU	LY770CT	via	LY1CT and (L)
IK2LEY/ISØ	via	IK2LEY	LY786A	via	LY5A (B)
I6/OT1V	via	ON8VM (B), (L), (e)	LZ/OP4L	via	ON4LDK (d), (B)
IL7/IK5AEQ	via	IK5AEQ (B), (L), (e)	LZ/SQ2M	via	SQ2M
IL7/IZ5IUY	via	IZ5IUY (auch (e))	LZ0KP	via	SV2CLJ (d), (L)
IM0A	via	IS0BSR ((L) only)	LZ1Ø5IN	via	LZ1ZF (B)
IM0B		nur (L)	LZ1GLASS	via	LZ1KAK (B)
IN3/DL7CX/p	via	DL7CX (B), (L)	LZ258ML	via	LZ1KCP (B), (L)
IN3/HB9BXQ	via	HB9BXQ (B)	LZ2K	via	LZ4AE
IP1X	via	IU1JCZ (B)	LZ25MIG	via	LZ1ZF (B)
IP6POPE	via	IZ6BRJ	LZ31ZE	via	LZ1KCP (B), (L)
IQØAK	via	ISØJXO (B), (e)	LZ4A	via	LZ1YQ (d)
IQ1SV	via	IZ1JIZ	LZ457PP	via	LZ1KCP (B), (L)
IQ3DD	via	IZ3NWT (Bureau)	LZ540DS	via	LZ1KCP (B), (L)
IR1DCI/5	via	IK1GPG (B), (L)	LZ5G	via	LZ5ET (B)
IR1DCI/8	via	IK1GPG (B), (L)	LZ6E	via	LZ1GU (B)
IR9K	via	(B), (L)	LZ6T	via	LZ2JA
ISØ/DJ2TG/p	via	DJ2TG (L), (e)	M/LY4L	via	LY4L (L)
J2ØEE	via	F4DXW (d), (L), (e)	M2J	via	G4NBS (nur (L))
J28HJ		(L)	M4T	via	M0BEW ((e) only)
J28JD	via	EA5GL (B), (L)	MD7C	via	MØOXO (B-(O)), (L)
J28MD	via	IK2VUC (B)	MM1E	via	(L) (kein Bureau)
J3/N9GB	via	N9GB	MN5A	via	G3TXF (B), (L)
J43POTA	via	SV3SPD (L), (e)	MS0ORK	via	MM5DWW (d)
J5GQA	via	CT2GQA (B), (e)	MQ0PAM	via	MØPAM (d), (L), (e)
JD1AJD	via	JA1ADT (B), (L)	NØC	via	WØUY (d), (L)
JW/KA1IS	via	KA1IS (B)	N1N	via	K6ZO (L)
JWØA	via	K4NHW (B), (L)	NL8F	via	N7RO (d), (L)
JW7QIA	via	LA7QIA (B), (L)	OD5ZZ	via	N4GNR (d), (L)
JW7XK	via	LA7XK (B), (L), (e)	OE05FTDMC	via	OE1SGU (L), (e)

OE25MFCA	via	OE6XMF (B)	P4ØL	via	WA3FRP (B), (L)
OE0FTDMC	via	OE6VIE (B-(O)), (L)	P44W	via	N2MM (d), (L)
OE0HQ	via	OE3KAB (L)	P4/DDØVR	via	DDØVR (B)
OE25TU	via	OE-Bureau	PA/DH1NBE	via	DH1NBE (B)
OE3DIA	via	OE1DIA (d), (e)	PA/SP1MVG/p	via	SP1MVG
OE5D	via	OE2UKL (B), (e)	PA1VS	via	DE7VSH (B), (L), (e)
OE6ØSTMK	via	OE6WIG (B)	PA22VUELTA	via	PI4UTR
OE7ØFI	via	OE5FSL (B)	PA6ØCUBA	via	PA1FZH
OF9X	via	OH2BH (B)	PA6ØEHSB	via	PA5ABW (B)
OG7F	via	OH5AD (B), (L)	PA6ØNN	via	PC4C (B), (L)
OH0CO	via	SM6CCO (d), (L)	PA75DXCC	via	PA0ABM (O), (L)
OH1XMAS	via	OH-Bureau	PA9ØØUTR	via	PI4UTR
OJ0DX	via	DL3DXX (B-(O)), (L)	PC2ØSAIL	via	PAØRDY (B)
OJ0JR	via	OH3JR (B), (L)	PD36EUDXF	via	PA1AW (B), (L)
OJ0MR	via	OG2M (d)	PE36EUDXF	via	PA1AW (B), (L)
OK/SQ9MDF/p	via	SQ9MDF (B)	PF01MAX	via	PC2F and (L)
OK5D	via	OK1DTP (B), (L)	PF36EUDXF	via	PA1AW (B), (L)
OK5M	via	OK5MM (B)	PF44F	via	(L) (kein Papier)
OK5Z	via	OK2ZI, (L)	PF6SKCC	via	PG4I
OK8CX/p	via	DL7CX (B), (L)	PF6ØPENM	via	PF9W (B), (L)
OK8MA/p	via	SP9MA (B)	PGØØT	via	PA2TMS (B), (e)
OL1T	via	OK6DJ (B), (L), (e)	PG6PEACE	via	PG5FRL, (L)
OL15SOTA	via	OK1CYC (B), (L)	PI4COM	via	PA1AW and (L)
OL3Y	via	OK1CRM (B), (L)	PI4DX	via	PD1DX (d), (B), (L)
OL5GMA/p	via	OK3EQ (B), (e)	PI4NTC	via	PG4I
OMØR	via	OM3GI (d), (L)	PI4RCA/p	via	PA4T (B)
ON/SP7THC	via	SP7THC (d)	PI75ØGAZ	via	PA-(B)
ON37IOF	via	ON7QC (B)	PJ2/DK5ON	via	DK5ON (d), (B), (L), (C)
OO22FLY	via	nur ON-Bureau	PJ2/DDØVR	via	DDØVR (B)
OO36EUDXF	via	ON6CC (B), (L)	PJ4/DDØVR	via	DDØVR (B)
OO7Z/p	via	ON6KZ (B), (e)	PJ4/K4BAI	via	K4BAI
OP4K	via	ON4JZ and (L)	PJ7/G4JEC	via	NØUK (B), (L)
OP9T	via	ON5CT, (L)	PP2/DL3SEZ	via	DL3SEZ (B)
OQ4U	via	ON4AMX (B), (L)	PQ3G	via	PY3OZ
OQ5M	via	ON5ZO (L), (e)	PR1T	via	PY1ZV (nur (L))
ORØA	via	ON6ZK (B)	PR2R	via	PY2ERA (d), (B), (L)
OR1ØØRCBE	via	ON4GDV (B), (e)	PT4Z	via	PY4JW (d)
OR1Ø5ØHERZ	via	ON-Bureau	PT5C	via	PY5HC (B), (L), (e)
OR1Z/p	via	ON6IX (d), (e)	PT5J	via	PP5JR und (L)
OR7ØFI	via	OR4K (B)	PT6B	via	PY6HD (d), (L)
OR7G/p	via	ON7VG (auch (e))	PV2ØØBR	via	PY2KP (B), (L), (e)
OR78CLM	via	ON6HC (B)	PV2K	via	EA5GL (B), (L)
OR8W	via	ON4BDV	PW2IND	via	PP5AA (B), (e)
OS5Z	via	ON5CAZ (B)	PX2A	via	PY2VM (d), (L)
OT4N	via	ON4CN (B), (e)	R1941MB	via	R2DX (B), (L), (e)
OT5IDPD	via	ON6WL (B), (L)	R2022DX	via	RQ7L
OT5Q	via	ON4KNP (B), (L)	R2Ø23NY	via	RQ7L
OU5K	via	OZ1BEF (d)	R245GC	via	RW1QN (B), (L), (e)
OV2T	via	PAØABM (B), (L)	R50RCR	via	RV3VR
OV3T	via	OZ4XL (nur (L))	R8ØURAN	via	UA4AJD (B)
OV5W	via	OZ1GIN	R7ØØSSR	via	RØSI
OX7AM	via	OZ1ACB ((O)), (L)	RI41POL	via	RN3RQ (B)
OY7EE	via	OZ2I (B)	S21SM	via	OH6EAC (d) und (L)
OZ50DDXG	via	OZ1ACB (O), (L)	S50HQ	via	S54G (B), (L)
OZ5W	via	OZ7QC, (L)	S79/RM8A	via	RM8A (direct)
P29LL	via	EA7FTR (d)	SB6A	via	SA6AOA (nur (L))
P29RO	via	DL4SVA (B), (L)	SD6F	via	SM6JWR (B), (L)
P3AA	via	RW3RN (d), (B)	SF6F	via	SA6FOL (nur (L))
P3X	via	UT5UDX (L), (e)	SI3A	via	SM3LIV (B), (L), (e)

SK75BL	via	SK1BL (B, automatisch)	TM1ØØBBC	via	F8GGZ (B)
SM/OH2NOS/p	via	OH2NOS	TM1ØØCARD	via	F5PTI (B), (L), (e)
SM2M	via	SM2LIY (B), (L), (e)	TM100UNOR	via	F8KHG (B)
SN15ØBRAIL	via	SP2PBY (B)	TM1Ø5BDC	via	F8KGN (B)
SN2ØØO	via	SP2PGD (B, automatisch)	TM11SRY	via	F5KCC
SN2ØØW	via	SP2PGD (B, automatisch)	TM13COL	via	F5OGL (L)
SN2M	via	SP2XF (d), (B), (L)	TM17FFF	via	F4GFE
SN500GM	via	SP5PMU (B)	TM17MGF	via	F5KLJ (B)
SN5N	via	SP5KP (d), (L)	TM1SSOU	via	F6KGL
SN6J	via	SP6FHU (B)	TM2ØØLP	via	F8GGZ (B)
SN89LOT	via	SP1PMY (B)	TM22CAD	via	F1LPT ((e) only)
SN8K	via	SQ8ERS (B), (L)	TM2ALMA	via	F5PTA (d), (e)
SN65PLU		(B)	TM2D	via	F5KHP (e)
SN95PRK	via	SQ9FMU (B)	TM2LD	via	F4GQP (B)
SOØKBW	via	SP3PDO (B)	TM34SCRIP	via	F5JBU (d), (B)
SO95PRK	via	SP9WZO	TM35FIST	via	F6JOE (d), (B)
SP65PLU		(B)	TM36EUDX	via	PA1AW (B), (L)
SP77DIORA	via	SP6PZB (B)	TM3GGR	via	F6KUF (B); F5OEV (d)
SP9ØENG	via	SP3PDO (B)	TM3Z	via	F4DSK (B)
SP95PRK	via	SP9PNB (B)	TM400MO	via	F4DTO (B)
SQ65PLU		(B)	TM5ØARML	via	F4ILK (B), (e)
SQ75ZOT	via	SP1EG	TM50SC	via	F6PCT
SQ95PRK		(B)	TM50VAR	via	F4GPB (d), (B)
ST2SA	via	F6BFH (B), (*)	TM55TDL	via	F4IVC (d), (e)
SU8X	via	OH2BH (B)	TM5TD	via	F6KMB
SV9/SX338M	via	SX338M nur (L) & (e)	TM55SNSM	via	F4GPB (B), (e)
SX1ØØMRH	via	SZ2RWM (d), (e)	TM59TDF	via	F8KGS
SX14ASTRO	via	SZ1A (B), (L), (e)	TM62YT	via	F4GYG (e)
SX2IMA	via	SV2JAO (d), (e)	TM65M	via	F5RAB
SX22HAF	via	SV1AHH (nur L & (e)	TM72LMC	via	F1IEH (L)
SX338M		nur (L), (e)	TM72WOW	via	F1IEH (d)
SX39J	via	SV2GWY (d), (L), (e)	TM74CHX	via	F4IRT (B), (L), (e)
SX44JM	via	SV1AHH (L), (e)	TM78DP	via	F4GPB (B), (e)
SX8AEG	via	SV8MQP (B), (e)	TM8AB	via	F4KJQ
SZ1KVDD	via	SV1ENG (B), (L)	TM8GE	via	F6KFI (B)
T88PB	via	JAØJHQ (d), (L)	TM8R	via	F5BNJ (B), (L)
T88RC	via	JH1FFW (B), (L), (e)	TM90GF	via	F4KLR (B), (e)
TA3J/0	via	TA3J (B), (L)	TM100UNOR	via	REF-Bureau
TA4/OH2KW	via	OH2KW (B), (L)	TO2DL	via	DL7DF ((O)), (L)
TA4/SQ9UM	via	SQ9UM (d), (L), (e)	TO5A	via	F5VHJ (B), (L)
TC29EKM	via	(e)	TO9W	via	W9ILY (O), (L)
TC7G	via	YM7KK (d), (L)	TR8CR	via	F6AJA (B)
TG9ADM	via	EA5GL (B), (L)	TT8SN	via	F8FQX
TI1FIFA	via	(d), (L)	TX7G	via	F6BCW (B,automatisch)
TI2VLM	via	EA5ZD (d), (L)	TY0RU	via	R7AL ((O)), (L)
TI5/N3KS	via	M0URX (O) und (L)	TY5AF	via	(B – (O)), (L)
TI7/HB9BHU	via	HB9BHU	TZ4AM	via	W0SA (B), (L)
TI7/VE3BW	via	VE3BW (L)	UE32DX	via	RQ7L
TK/S53WW	via	S53WW, (L)	UG5F	via	RW3DSR (d), (L), (e)
TK/S57L	via	S57L, (L)	UR5FSP/mm	via	UR5FSP (d), (L)
TK/S57VW	via	S57VW	V26K	via	AA3B (B), (L), (e)
TK0C	via	S50C (d), (B), (L), (e)	V26OC	via	N3OC (d), (L)
TMØW	via	F2CT (L), (e)	V31TX	via	DJ5QW (B)
TM1MLB	via	F4KMI (B), ((e))	V31XX	via	K4XS (d)
TM1SOTA	via	nur (e)	V4/NT5V	via	NT5V (B), (L)
TM1ØKIY	via	F4KIY (B), (L), (e)	V47FWX	via	MØURX (B–(O)), (L)
TM109TDF	via	F8GGZ	V48A	via	WX4G (B), (L), (e)
			V48DM	via	N4GNR (B), (L)
			V5/HB9BFM	via	HB9BFM (B), (L)

V5/ZS1WO	via	DH3WO (B)	YB0AR	via	EB7DX (d) und (L)
V51LZ	via	EA5GL (B), (L), (e)	YBØECT	via	W2FB (d), (L)
V73MS	via	WV7MS (d), (L)	YB8QT	via	IK2DUW (d), (L)
V85/F5NPV	via	F5NPV (L), (e)	YH0R		(B), (L), (e)
V85NPV	via	nur (e) & (L)	YJØAUS	via	F6BFH (B), (*)
VB4LIGMA	via	A4BEN	YJØCA	via	VK2YUS (d)
VE2PEACE	via	VE2JCW (d)	YJØDA	via	VK4MAP (d)
VE3KTB/VY0	via	M0OXO (B-(O)), (L)	YK1AA	via	F6BFH (B), (*)
VG5DX	via	VA5DX (d)	YO3IMD	via	YO3KPA (B), (L)
VJ2J	via	VK2CZ (d)	YO8/LZ4UU	via	LZ4UU (B), (e)
VJ3A	via	VK3JA and (L)	YP8XMAS	via	YO2MSB (B), (e)
VJ4K	via	N3SL (B), (L), (e)	YR1400VT	via	YO6KGS (e)
VJ4T	via	VK4QH (L), (e)	YR12ØØVT	via	(e) oder qrz.com
VL2B	via	VK2BJ ((L) only)	YR2X	via	YO2LEA (B), (e)
VL2G	via	VK2GR ((L) only)	YS1RR	via	F6BFH (B), (*)
VL2N	via	VK2PN ((L))	YR6MUSEUM	via	YO6KNE (B), (L)
VL3E	via	VK3TZ and (L)	YU/OK1ARI/p	via	OK1ARI (auch (e))
VL6C	via	VK6IR (O) und (L)	Z21LS	via	DE1ZHB (B), 7Z1HB (d)
VP2ETE	via	W3HNC, (L)	Z66BCC	via	DL2JRM (B)
VP2MDX	via	W2APF (B), (L)	Z68EE	via	OZ2I (B), (L)
VP2MJA	via	VE3WB	Z66X	via	OH2BH (B), (L)
VP8TAA/p	via	MØOXO (B- (O)), (L)	Z68XX	via	DL2JRM (B)
VP9/N8QNT	via	N8QNT (B)	ZA/OE6TQG	via	OE6TQG and (e)
VP9/SP9FIH	via	SP9FIH	ZA/OE8NDR	via	DE1QSL
VP9IN	via	EC6DX (d)	ZA/SQ9MDF/p	via	SQ9MDF (B)
VKØWN	via	VK7WN (B), (L)	ZF1A	via	K7ZO ((O)), (L), (d), (B)
VK36EUDXF	via	VK2WN, (L), (e)	ZF2IT		nur (L)
VK5X	via	VK5XDX ((L))	ZF2MJ	via	N6MJ and (L)
VK6T	via	EA7FTR (d), (L)	ZF2RX	via	KC1KUG
VK75FAA	via	VK2YVA (B)	ZL1X	via	ZL1BVA (e)
VK8NSB	via	M0URX (O) und (L)	ZL4/VE6TC	via	VE6TC (L), (e)
VK9C	via	EB7DX (d), (L), (e)	ZL7/K5WE	via	K5WE (d), (L)
VK9CM	via	EB7DX (d), (L), (e)	ZL7/ZL1VV		(L)
VK9MTO	via	ZL1MTO (d \$5 PayPal), (L)	ZV2X	via	PY2YVN
			ZV8C	via	PQ8SL (d), (L)
VK9XX	via	EB7DX (d), (L)	ZW2ØØESQ	via	PY1JR (B)
VK90ABC	via	VK1RAS (L), (e) only	ZW2A	via	PY2SGL (d), (B), (L)
VX2I	via	F5JYD (B), (d), (L)	ZW7I	via	PY7WM (B), (L)
VR25RC	via	VR2RC	ZX8F	via	PS8RV (B), (L)
VR25XMT	via	VR2XMT (d), (L)	ZY0FUN	via	PY2RN ((O)), (L)
VP2MDX	via	W2APF (B), (L)	ZZ1S	via	PY1IO (d), (LO)
VP5Y	via	VE3RZ	ZZ2OO	via	(B), (L)
VP8TAA	via	M0OXO (O), (L)	ZZ4A	via	PX4DX (d), (L)
WØ /VK3BDL	via	VK3BDL			
W2/JR1AQN	via	JR1AQN (B), (L), (e)			
W7/KH7X	via	KH7X (d), (B)			
W8W	via	W8KVK (d), (e)	(d) = direkt		(B) = Büro ok
XE1HG	via	EA5GL (d), (L)	(L) = (L)		(O) = (O)
XE3E	via	EA5ZD (d), (L)	(C) = ClubLog		(e) = (e)
XF1S	via	IT9EJW (B)	(*) = neuer Manager		(Q) = QRZ.COM
XIØX	via	XE1KK (nur (L))	H/c = Homecall		
XM3A	via	VE3NOO (B), (e)			
XP3A	via	PA3249 (d), (L), (e)			
XT2AW	via	M0OXO (O) und (L)			
XV9BPO	via	EA5GL und (L)			
XV9SB	via	WB4SAB (d)			
XV9K	via	DJ6TF (B), (L)			
XW4KV	via	F4BKV (B), (L)			
XZ2B	via	JH3SIF (B), (L)			

*** Aufgrund der anhaltenden und sich ständig ändernden Situation von COVID-19 auf der ganzen Welt, können die angekündigten Aktivitäten ohne vorherige Ankündigung verkürzt, verschoben oder **sogar abgesagt werden.** ***

Abkürzungen:

ARLHS	Amateur Radio Lighthouse Society
DCI	D.C.I. (Diploma Castelli Italia) http://www.dcia.it/dci/
DCPC	D.C.P.C. (Diploma Castelli Provincia Cuneo)
DFCF	Diplome des Forts et Chateaux de France
DIFM	Diplôme des Iles de la France Métropolitaine
H/c	Homecall
ILLW	International Lighthouse Lightship Weekend
IOCA	Islands Of Croatia Award
IOTA	Islands on the Air
(L)	Logbook of the World
(O)	Online QSL Request System
POTA	Parks On The Air
RDA	Russian District´s Award Program
RLHA	Russian Lighthouse Award
SNSM	Société Nationale des Sauveteurs en Mer
URE	Unión de Radioaficionados Españoles
WCA	World Castles Award
WLOTA	World Lighthouse On The Air Award
WRTC	World Radiosport Team Championship
WWFF	World Wide Flora & Fauna
YOTA	Youth On The Air

<https://www.darcdxhf.de/dxmb/>

PDF-Version in Deutsch (farbig, mit Bildern):

<https://www.darc.de/der-club/referate/dx/dxmb/>

TXT-Version deutsch (nur Text, ohne Bilder):

<https://www.darc.de/der-club/referate/dx/dxmb/>

TXT-Version englisch (nur Text, ohne Bilder):

<https://www.darc.de/der-club/referate/dx/en/dxnl/>

Archiv:

<https://www.darc.de/der-club/referate/dx/dxmb/>

DXMB-Homepage:

<https://www.darc.de/der-club/referate/dx/dxmb/>

Wir bedanken uns für die Mitarbeit an dieser Ausgabe bei: I1JQJ/IK1ADH & 425 DX News, DX World, DXNews.com, VA3RJ, KB8NW & OPDX-Bulletin, DF6EX (für WIN-QSL), DL1BAH, DL1SBF, DL3FF, DL7MAE, EA3HKY, UA1OBA, F6AJA & Les Nouvelles DX, Islands On The Air, NG3K & ADXO, OE2IKN, OM3JW & IDXP, OZ6OM & 50 MHz DX News, W3UR & The Daily DX ...u.a.

Kostenloses Abo DXMB / DXNL:

DXMB Abonnement / DXNL Subscription

